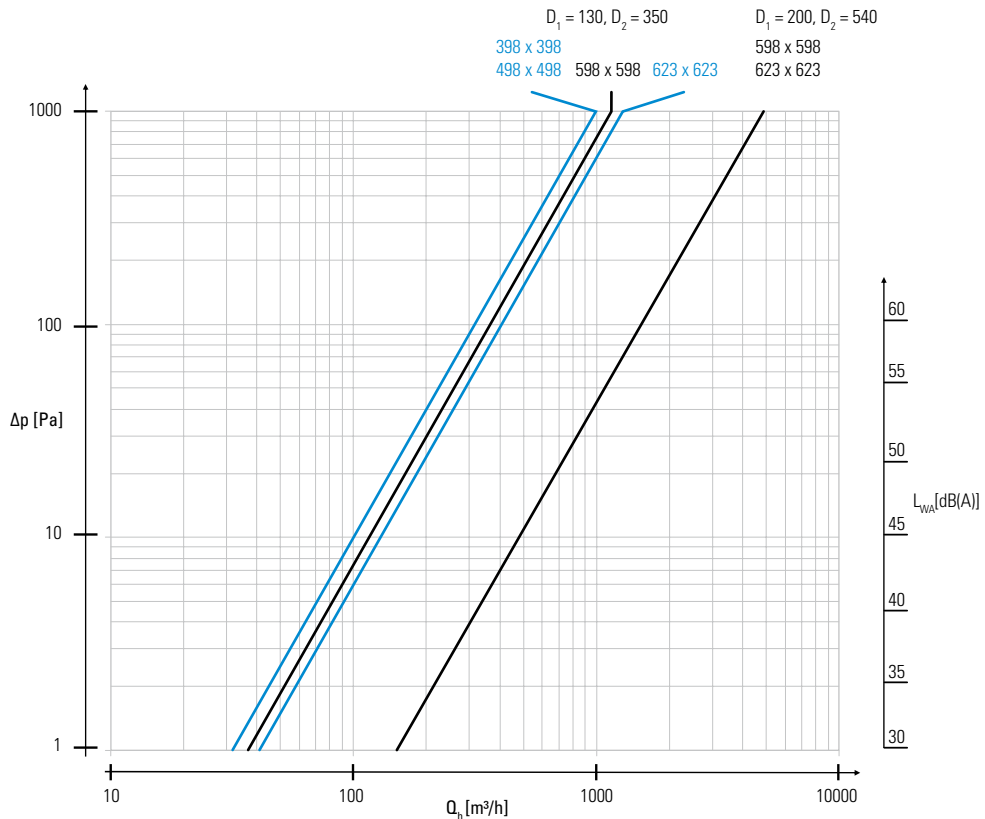


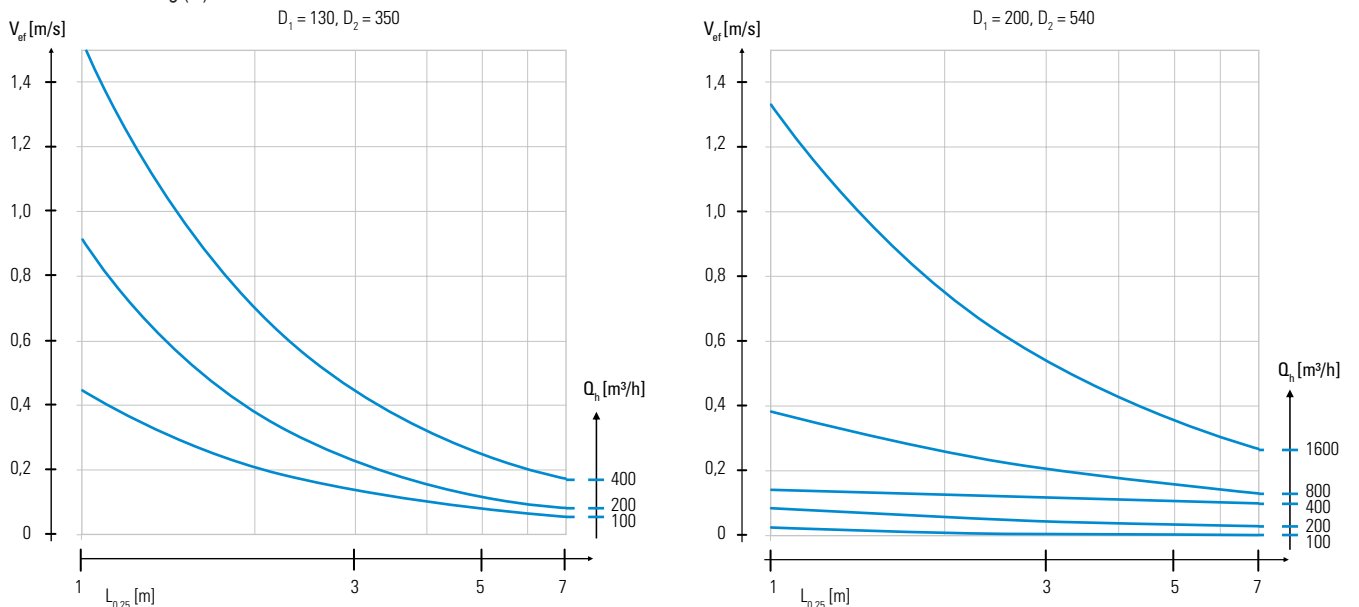
Auswahldiagramm für die Luftwirbelungsauslässe AWR

Abhängigkeit des Druckverlusts (Δp) und Schallleistungspegel (L_{WA}) von der Luftvolumenströmung (Q).



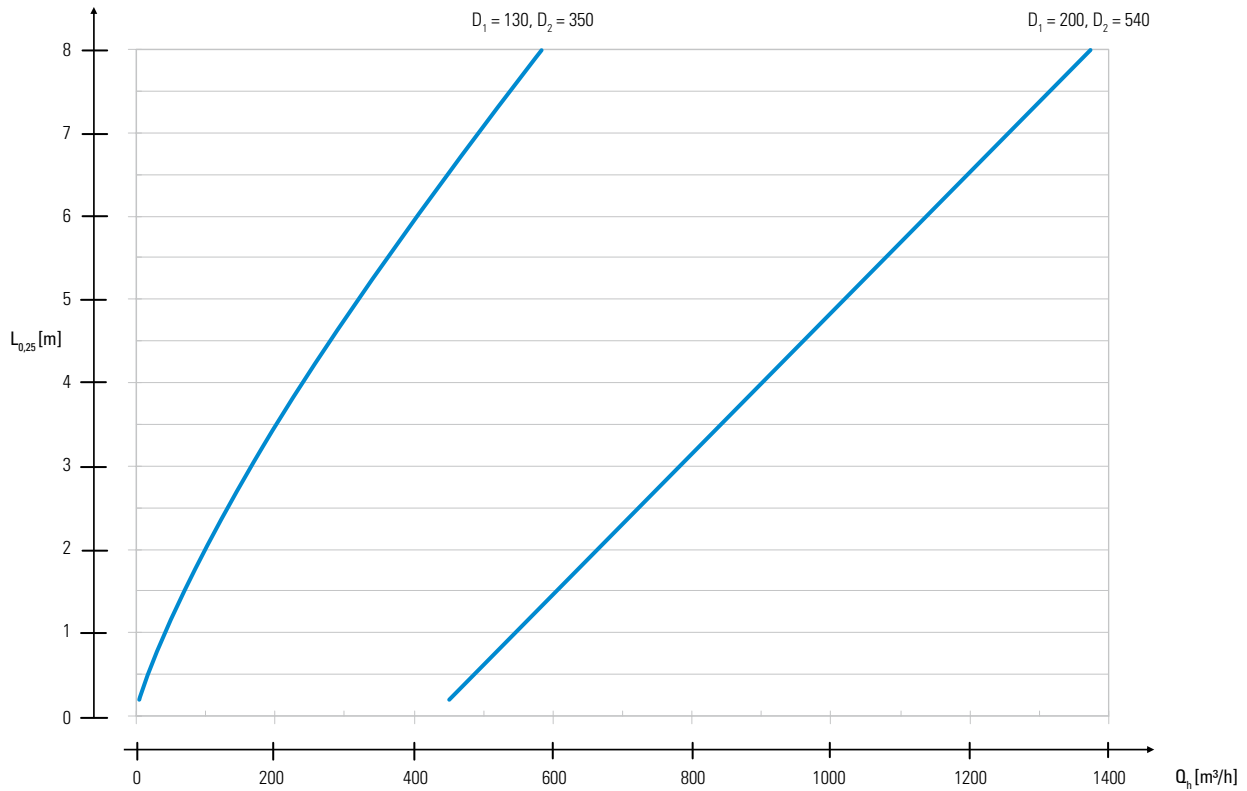
| Druckverlust | | | |
|--------------|-----|-----|-------------------|
| | D1 | D2 | P [Pa] |
| 398 x 398 | 130 | 350 | 0,0010 Q_n^2 |
| 498 x 498 | | | |
| 598 x 598 | | | |
| 623 x 623 | | | |
| 598 x 598 | 200 | 540 | 0,0000485 Q_n^2 |
| 623 x 623 | | | |

Abhängigkeit der maximalen Strömungsgeschwindigkeit (V_{eff}) und Strömungsausdehnung mit der Geschwindigkeit $V=0,25$ m/s ($L_{0,25}$), von der Luftvolumenströmung (Q).

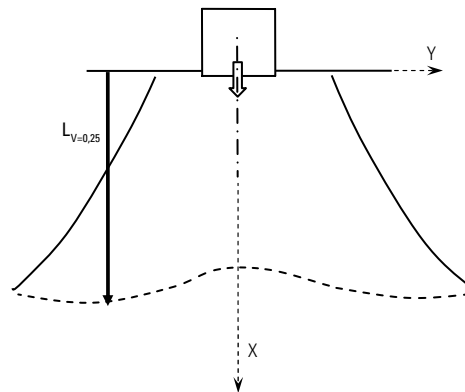


Auswahldiagramm für die Luftwirbelungsauslässe AWR

Abhängigkeit der Strömungsausdehnung mit der Geschwindigkeit $V=0,25$ m/s ($L_{0,25}$) von der Luftvolumenströmung (Q).



Luftausbreitung vom einzelnen Luftdurchlass



Luftausbreitung von den Luftdurchlässen

